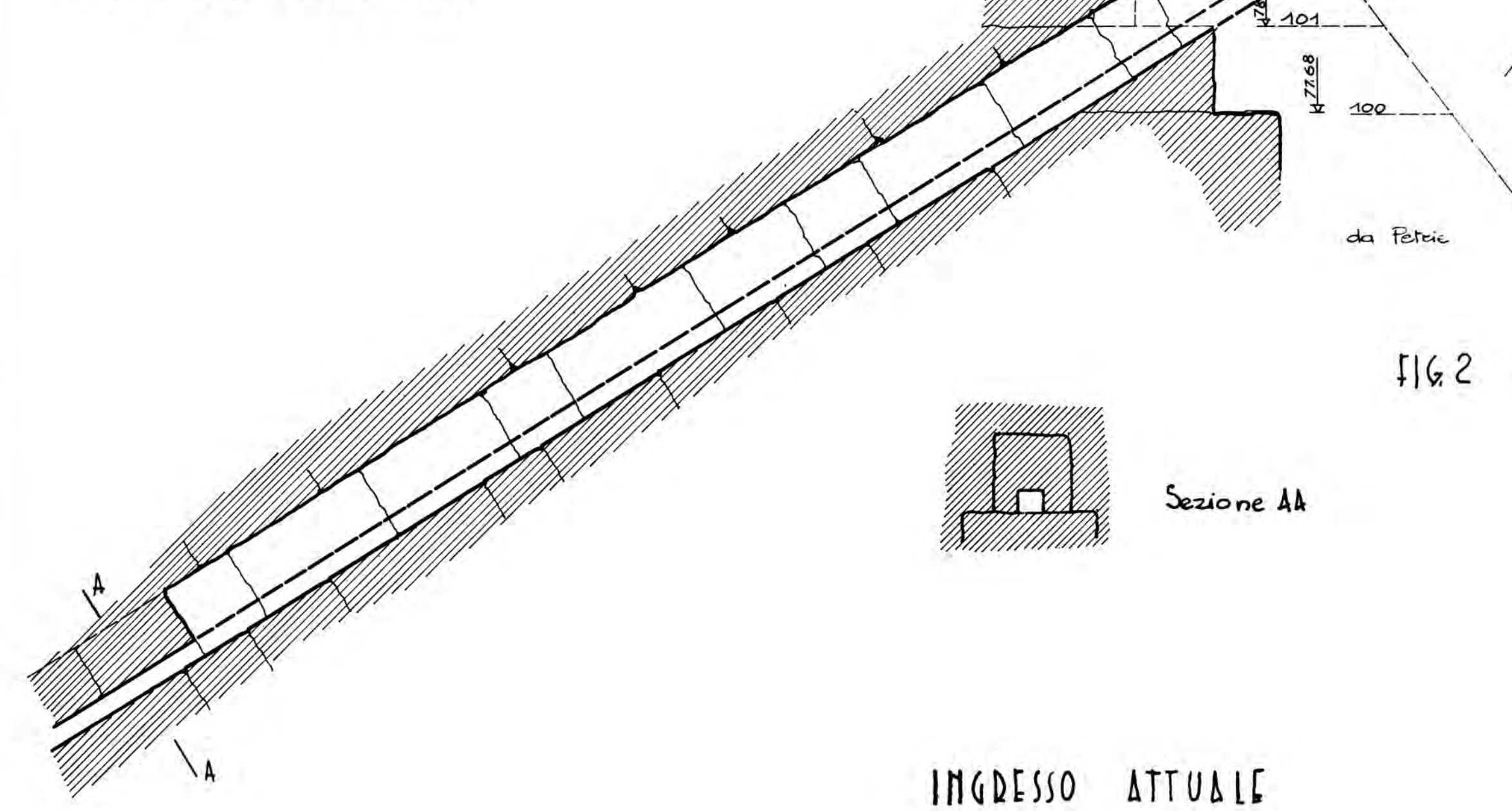


PARTICOLARI

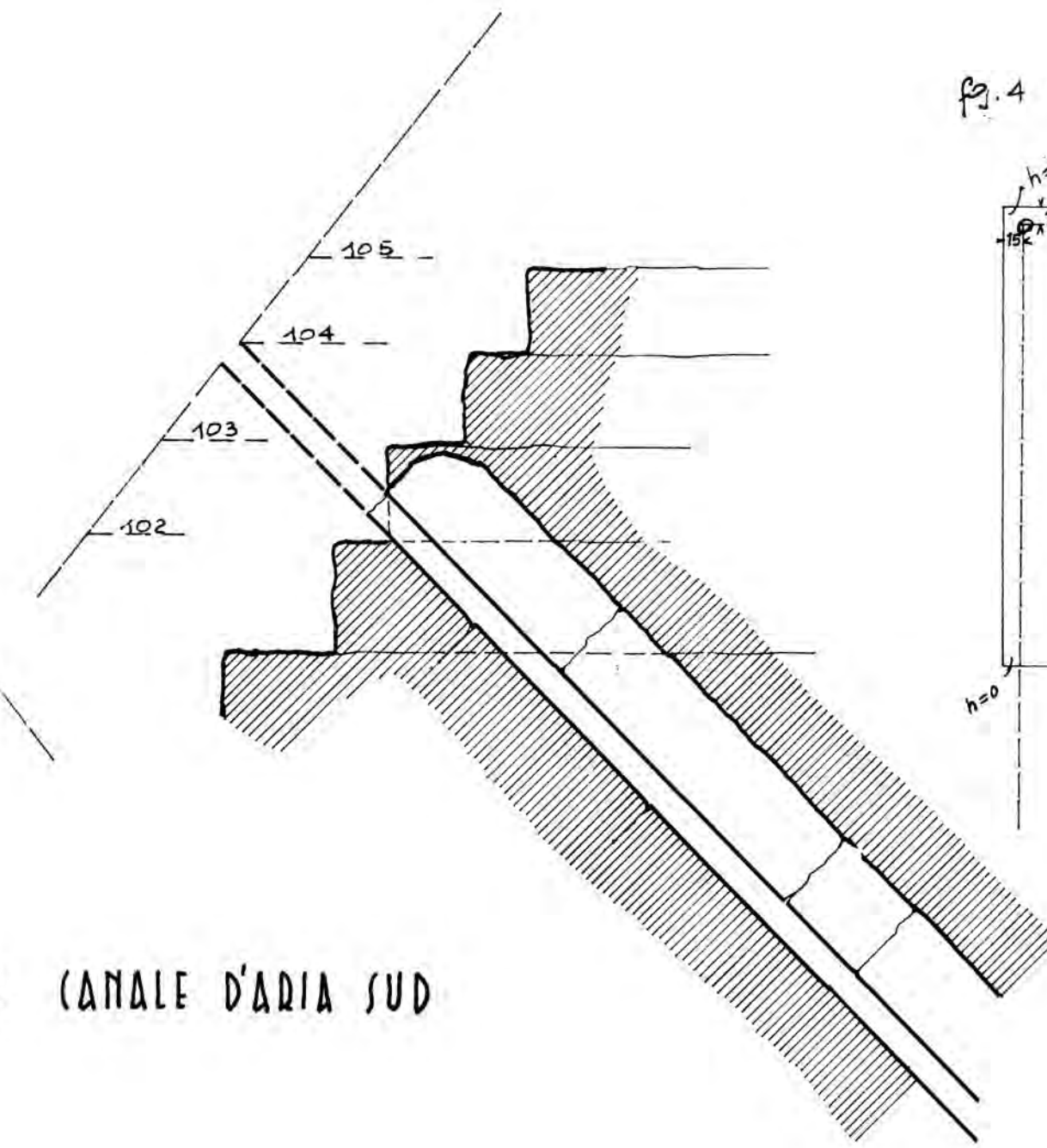
per le figure 1, 2, 4, 5, 6, 7, 8, 9, 10, 12, 13, 14, 15, 16

FIG. 1 CANALE D'ARIA MOD



INGRESSO ATTUALE

FIG. 2 CANALE D'ARIA SUD



Sezione AA

fig. 4 Angolo SW

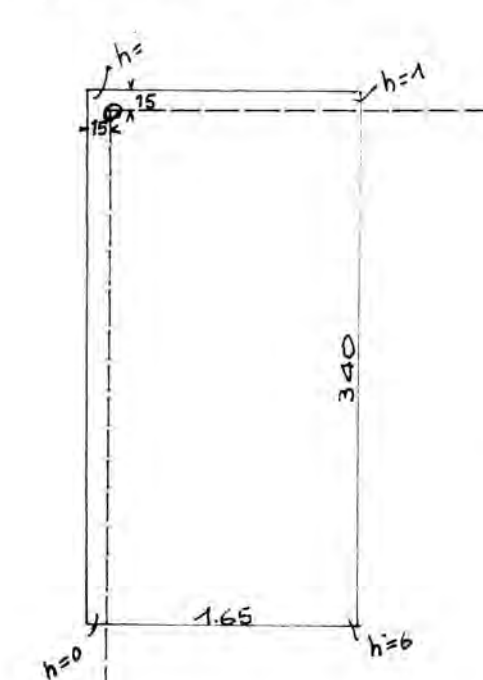


fig. 7 Angolo NW

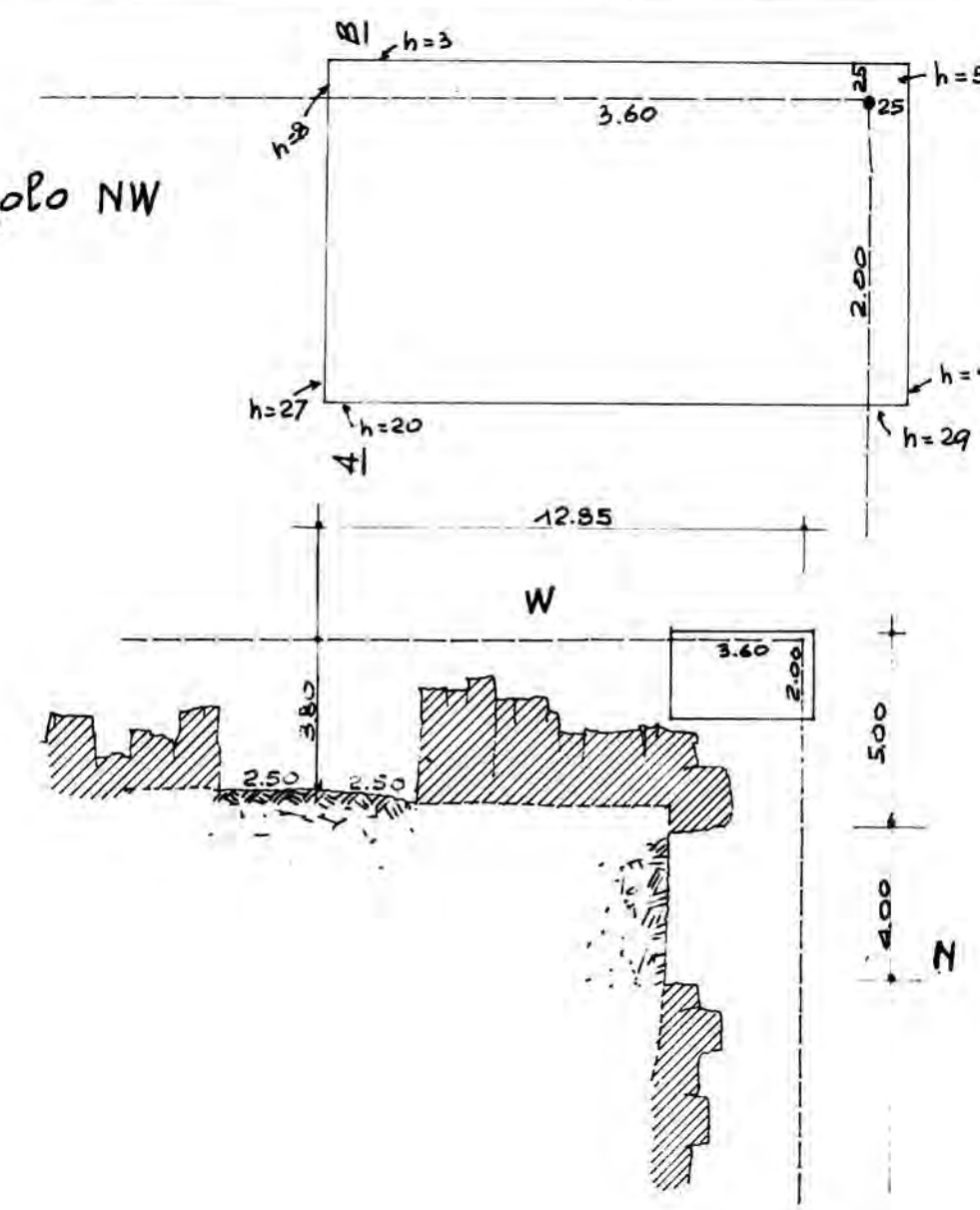


FIG. 3 SOCKETS ripinti agli angoli dello zoccolo quale determinato da Cole

Nota: i chiodi di Cole agli angoli NE e NW sono sempre in sito a SW fu ammesso il foro che lo conteneva a SE non ne resta traccia

fig. 5 Angolo SE

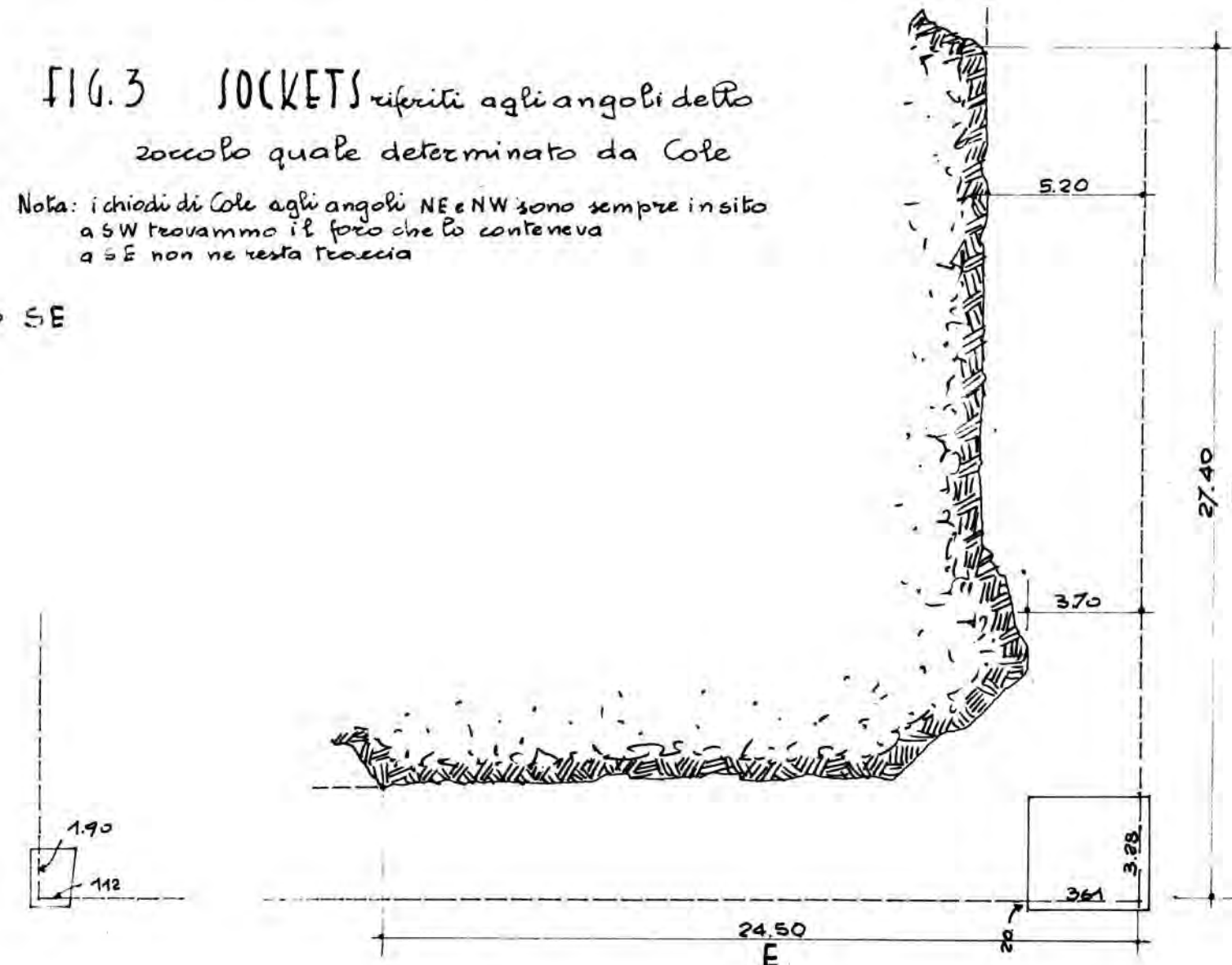
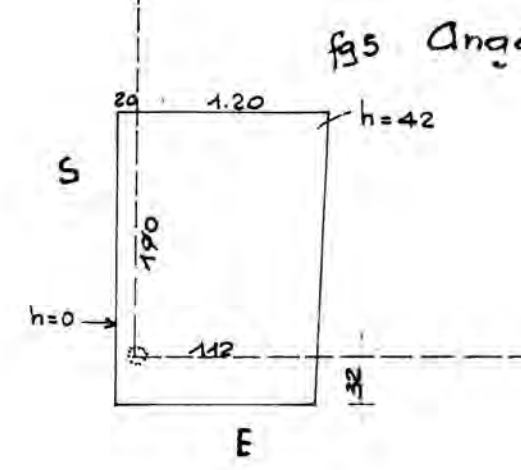


fig. 6 Angolo NE

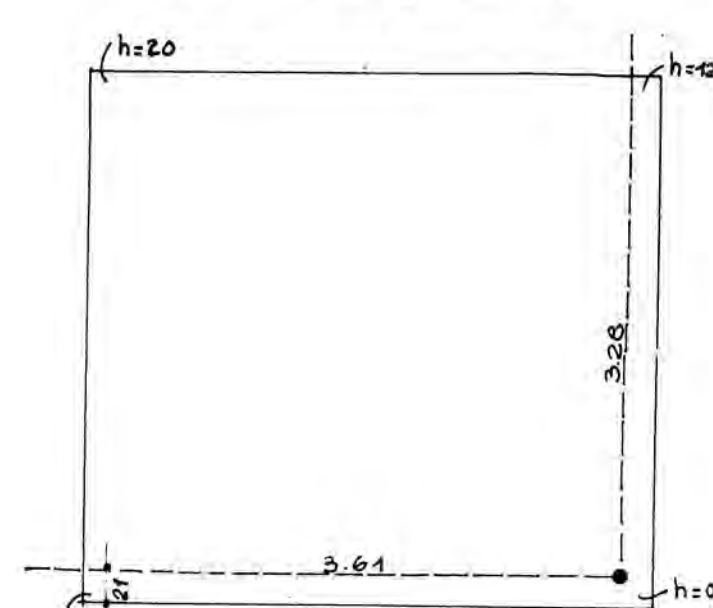


FIG. 8 VISTA

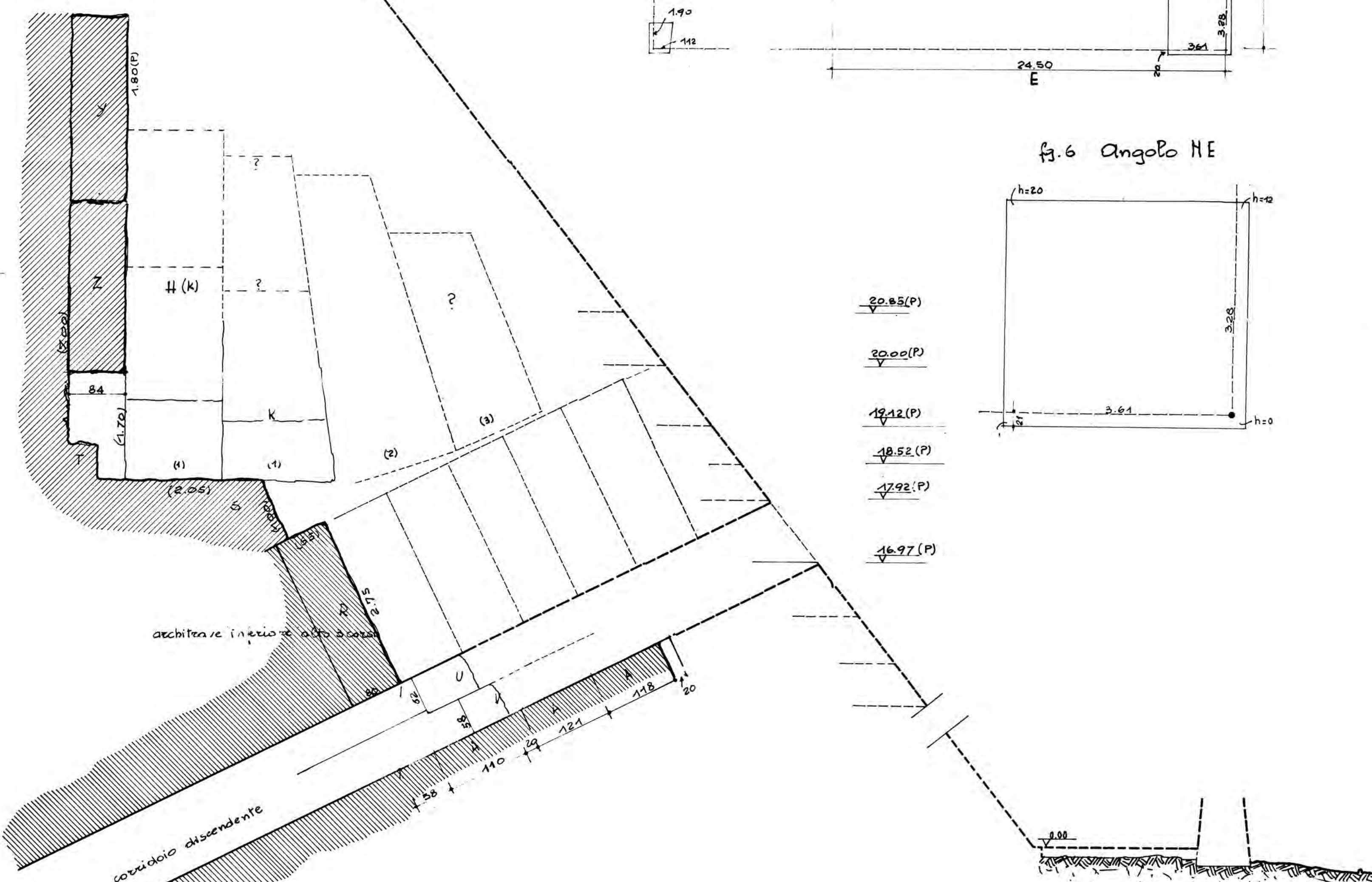
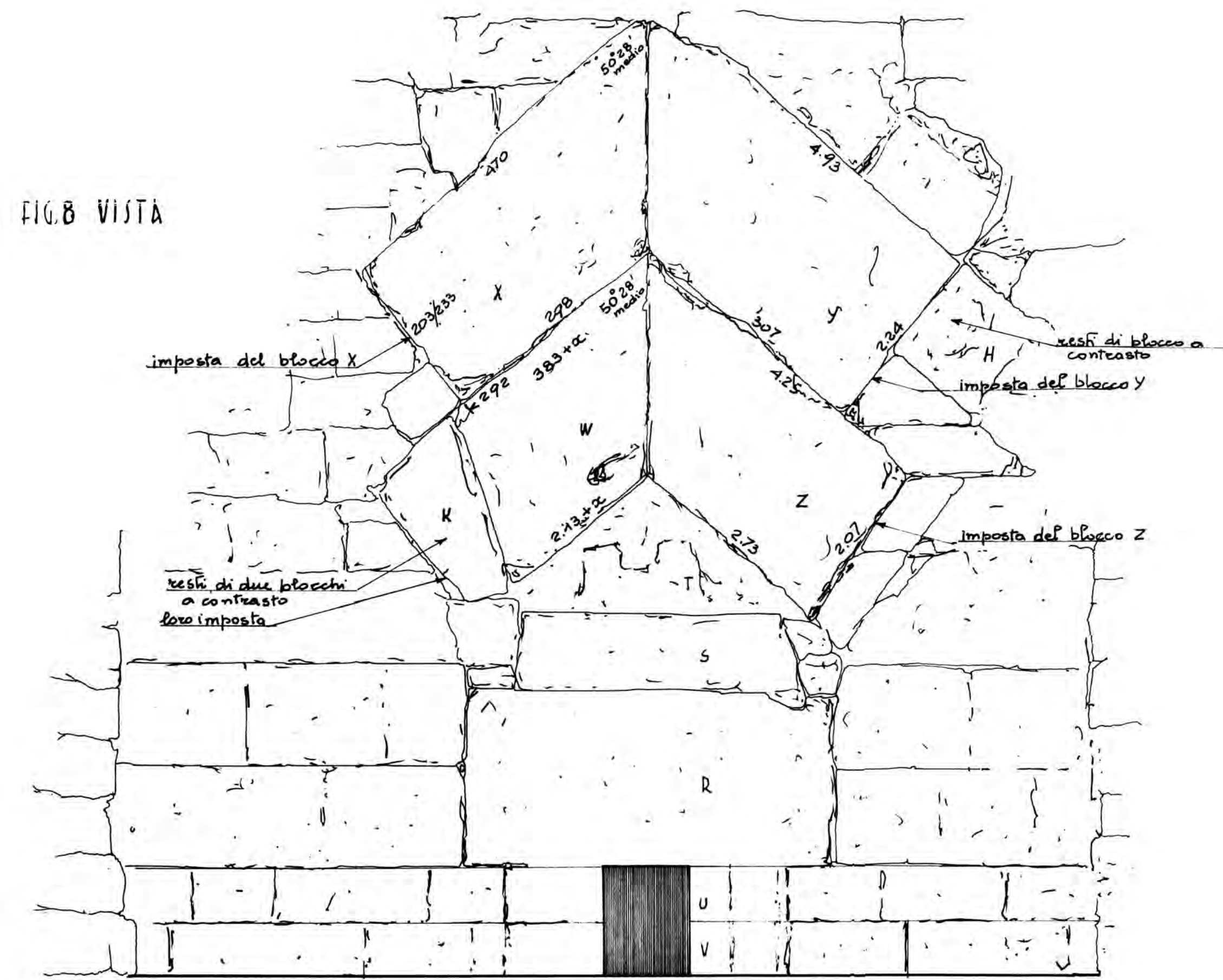


FIG. 10 SEZIONE MEDIANA

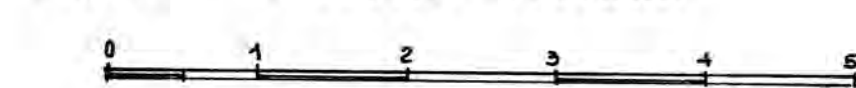


FIG. 11 PIEDE DELLA PIRAMIDE

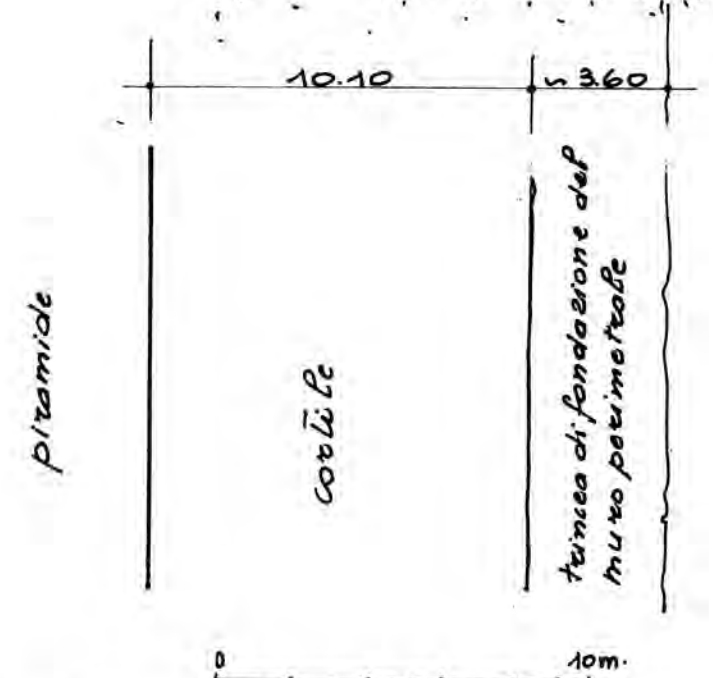
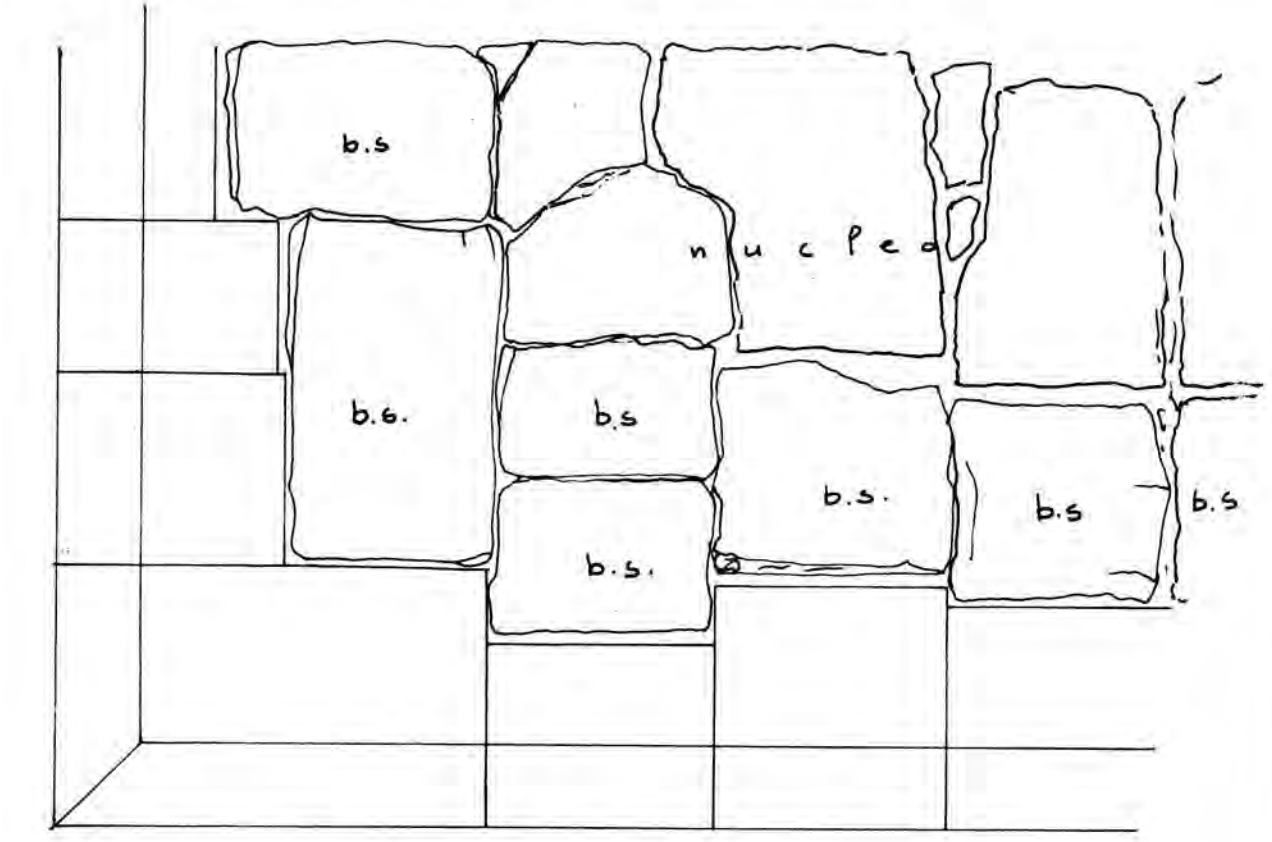
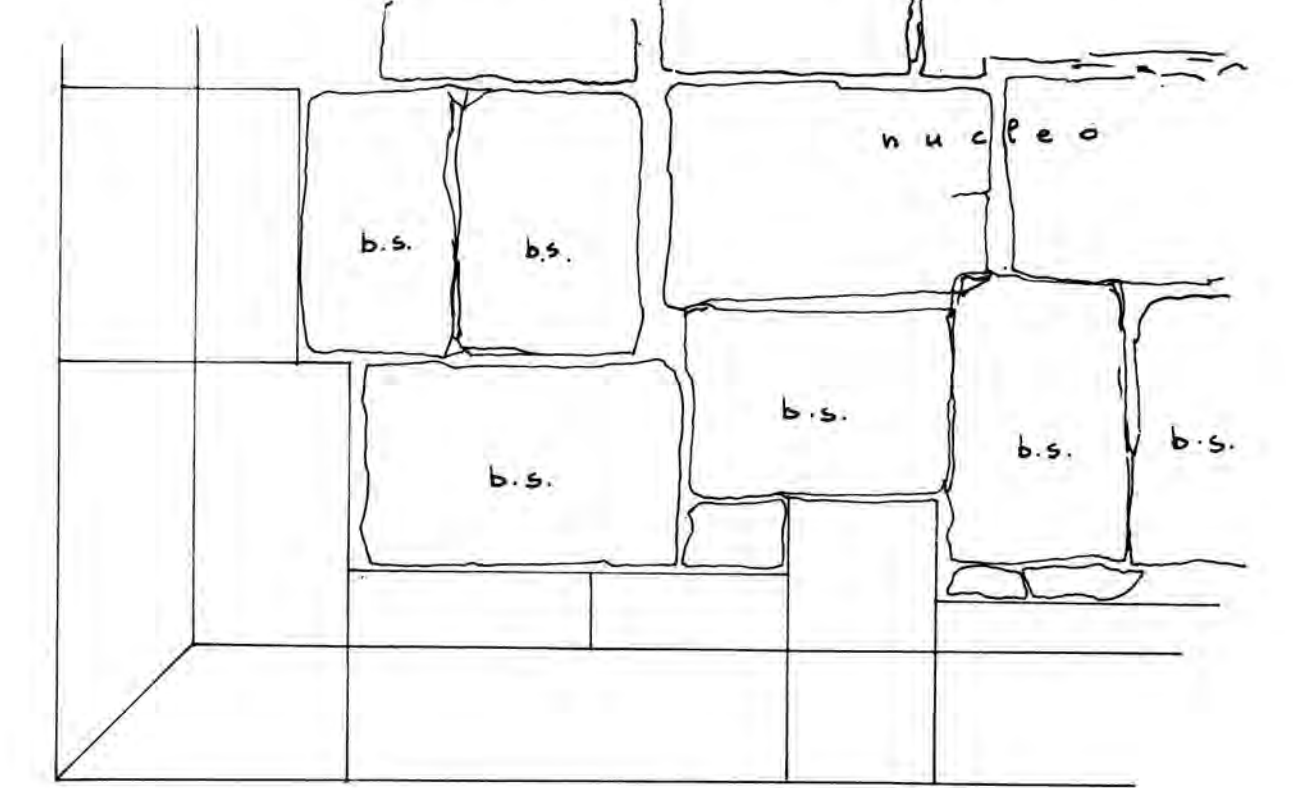


FIG. 12-13 SCHEMA DELLA DISTRIBUZIONE DEI BLOCCHI IN DUE CORSI SUCCESSIVI



CORSO X

Nota: il nucleo può anche essere di roccia



CORSO X-1

RICOSTRUZIONE DEI SOCKETS

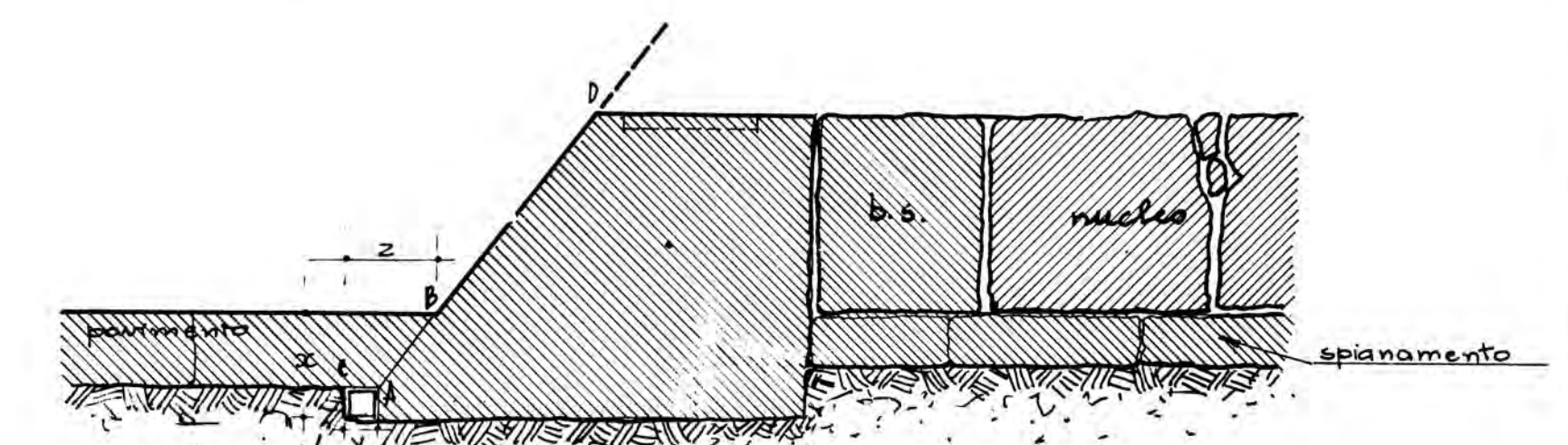


Fig. 14 Sezione AB secondo Petrie

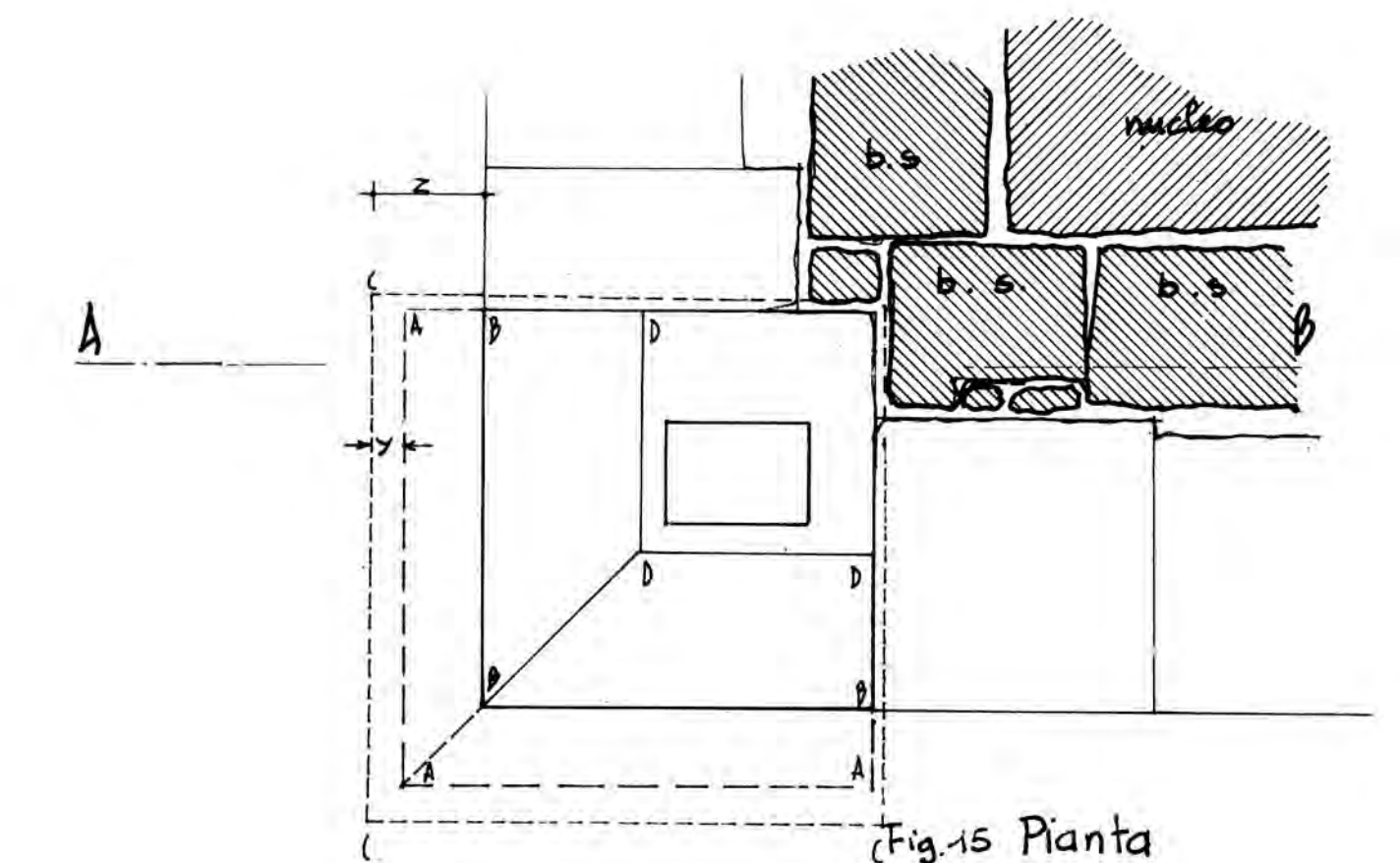


Fig. 15 Pianta

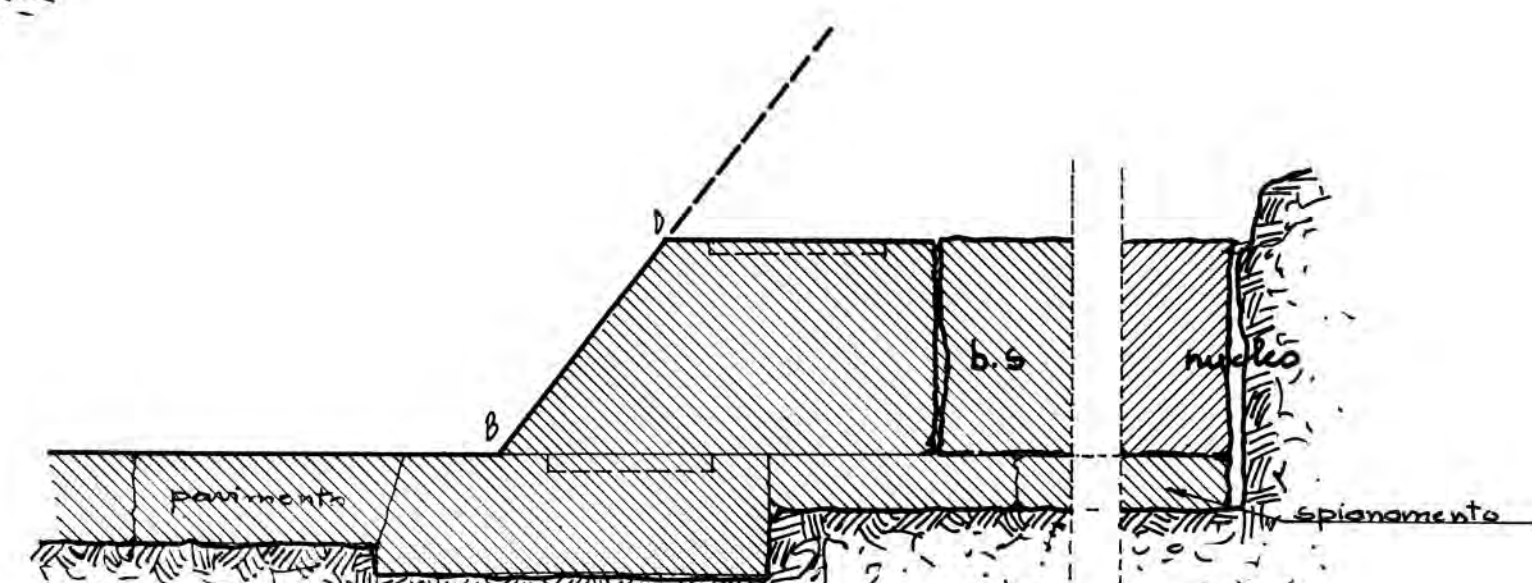


Fig. 16 Sezione AB secondo Borchardt (roccia)

L'imposta del blocco W è nascosta dai blocchi K e si trova sullo stesso piano dell'imposta di questi. L'imposta del blocco Y è parzialmente nascosta dai resti del blocco H.

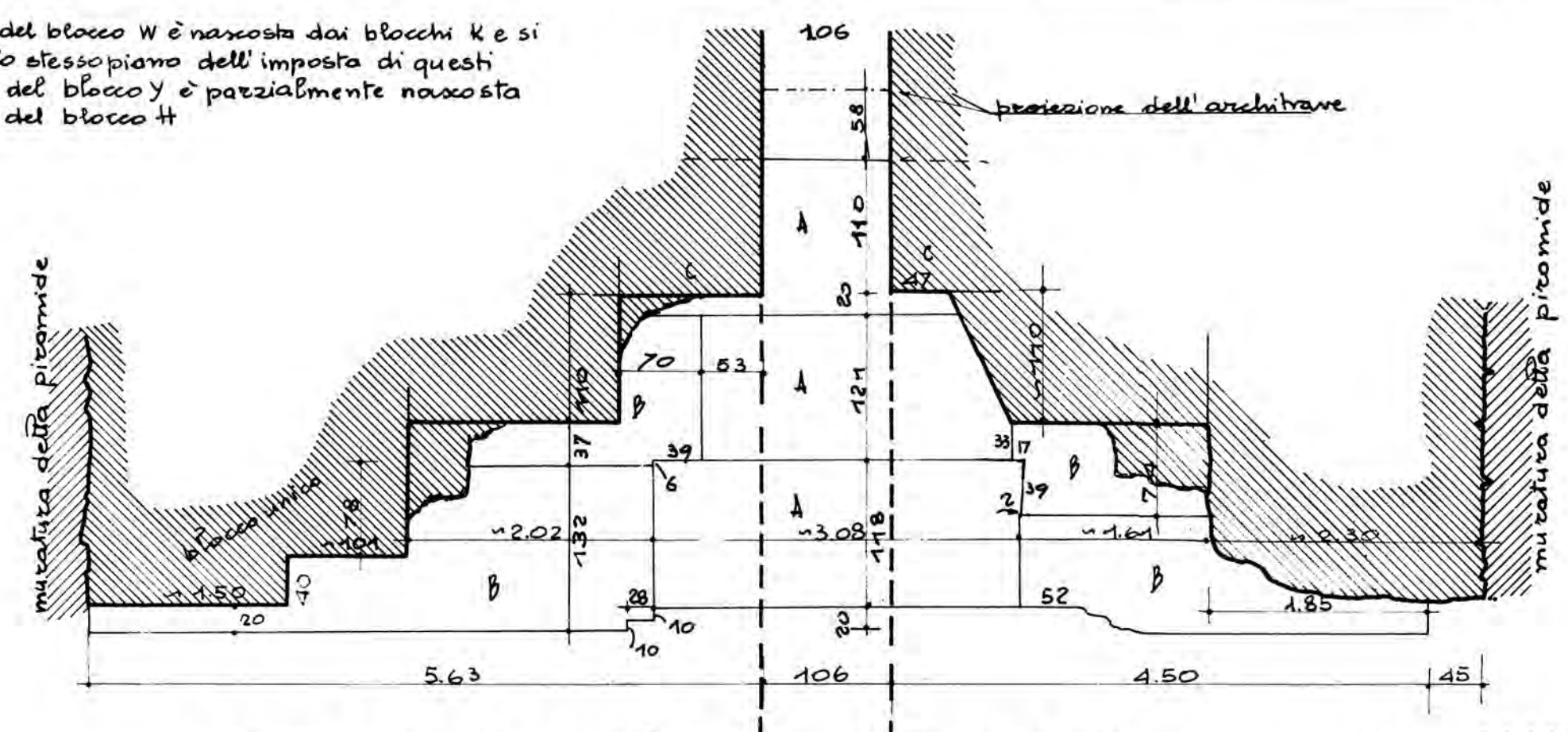


FIG. 9 PIANTA

A blocchi di pavimento e parziale sostegno dei blocchi di parete
B blocchi di parziale sostegno dei blocchi di parete
C blocchi di parete

I resti di blocchi in H e K danno per certo che in (3) c'era ancora un doppio strato di blocchi a contrasto. In (2) lo spazio non permetteva forse che un solo strato. È probabile che anche in (3) fosse uno strato di blocchi a contrasto.

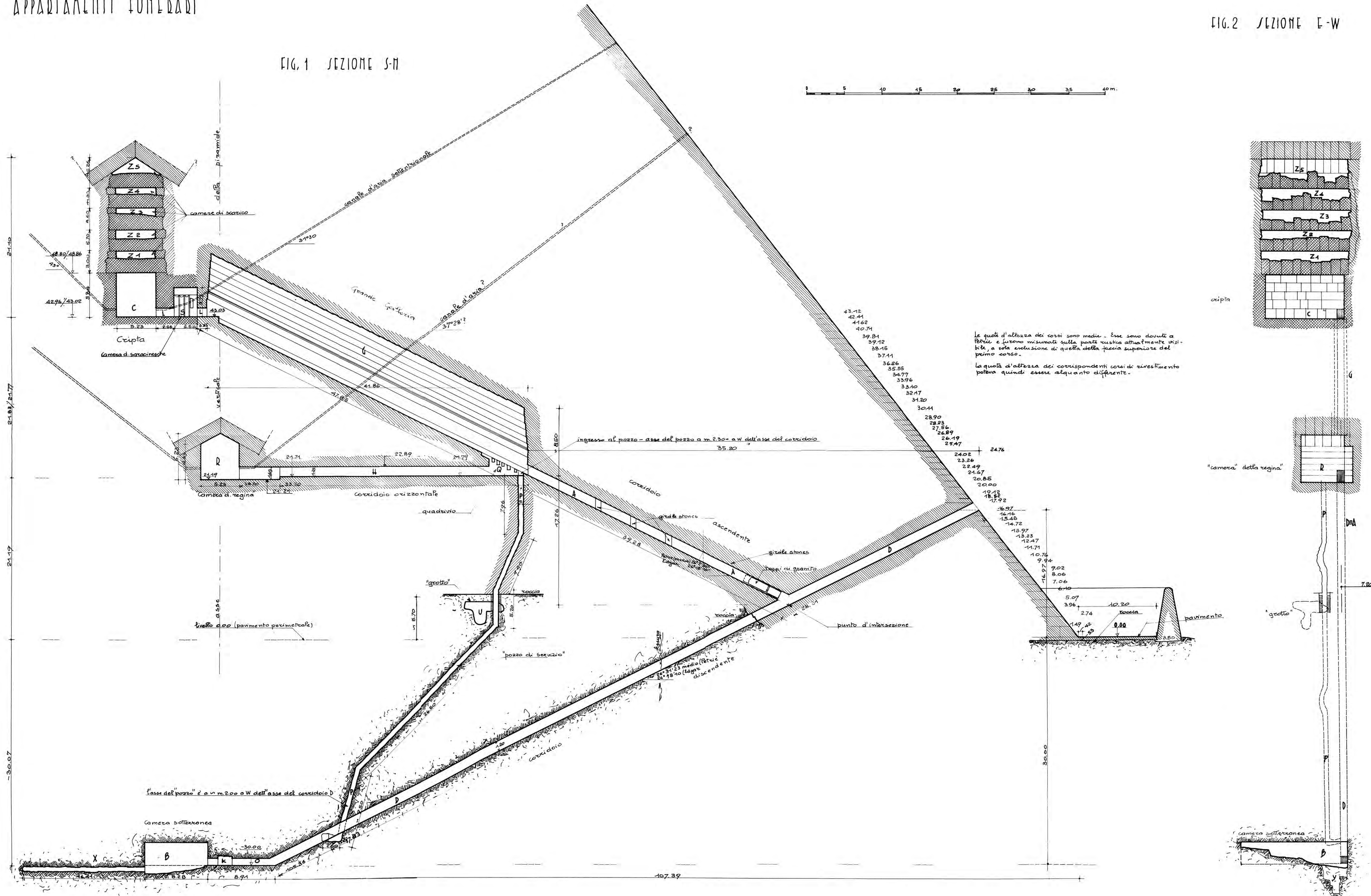
Tenere presente la differenza di scala fra le figure 10 e 11

Vito Marangoli

APPARTAMENTI FUNERARI

FIG. 2 SEZIONE E-W

FIG. 1 SEZIONE S-N



Le quote d'altezza dei corsi sono medie. Esse sono dovute a Petrie e furono misurate sulla parte estica attualmente visibile, a sola esclusione di quella della fascia superiore del primo corso.
 La quota d'altezza dei corrispondenti corsi di rivestimento poteva quindi essere alquanto differente.

Williamson
 1965

CORRIDOIO DISCENDENTE CORRIDOIO ORIZZONTALE INFERIORE DECESSO
 CAMERA SOTTERRANEA CORRIDOIO CIECO

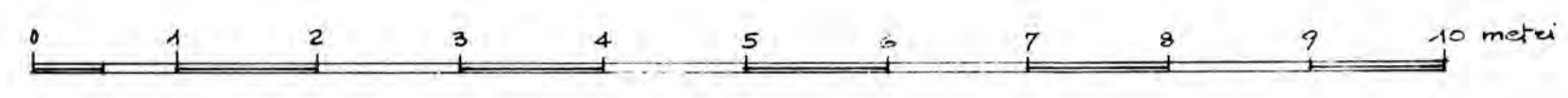


FIG. 2 PARTICOLARE DELLO SBOCO INFERIORE DEL POZZO (Edgar)

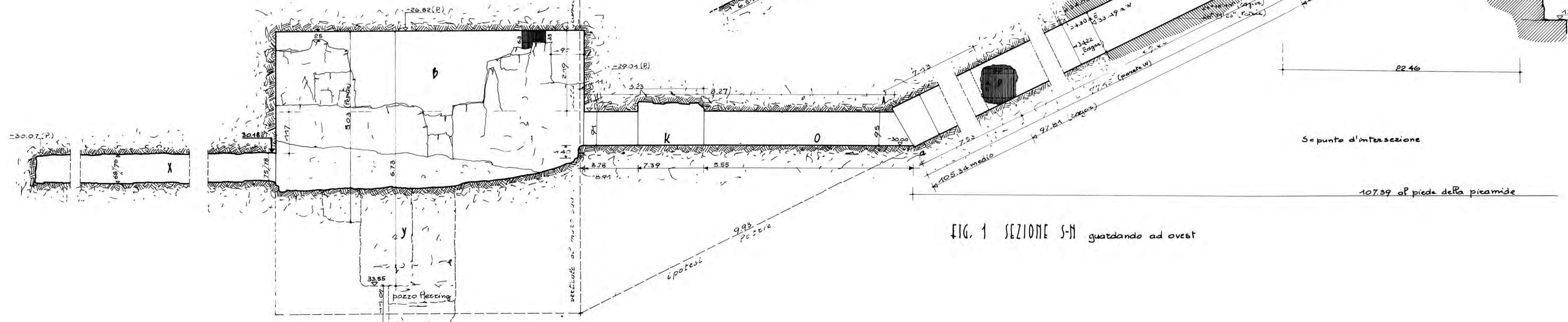


FIG. 1 SEZIONE S-N guardando ad ovest

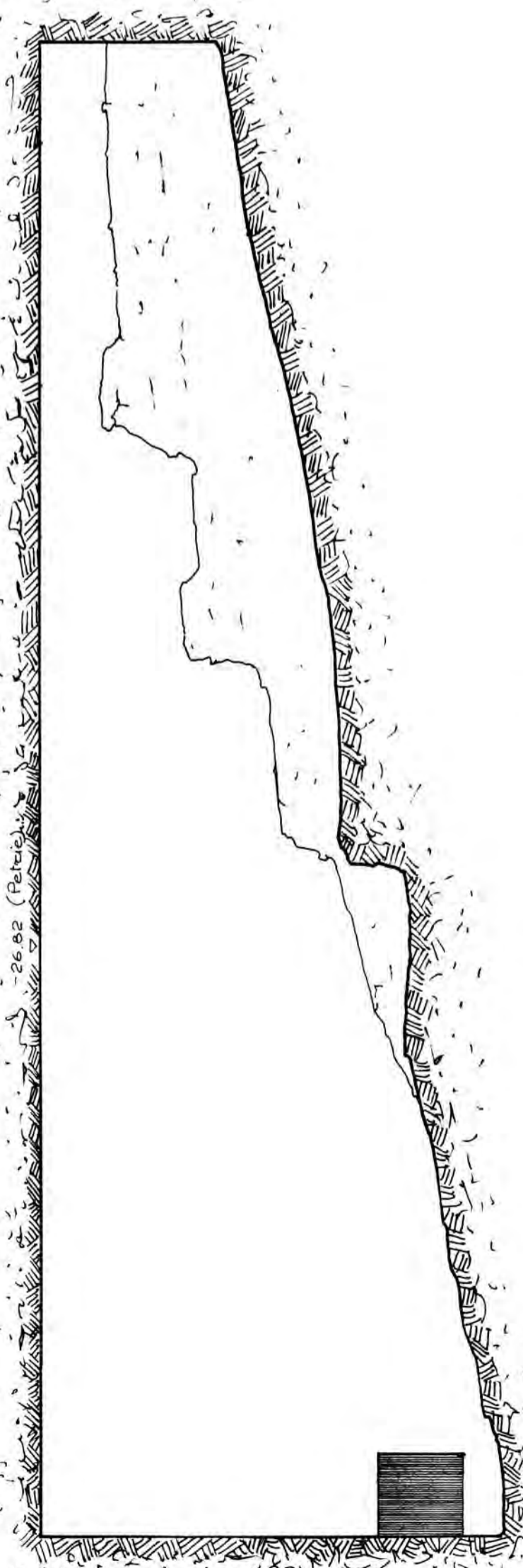


FIG. 5 SEZIONE E-W DELLA CAMERA guardando a sud

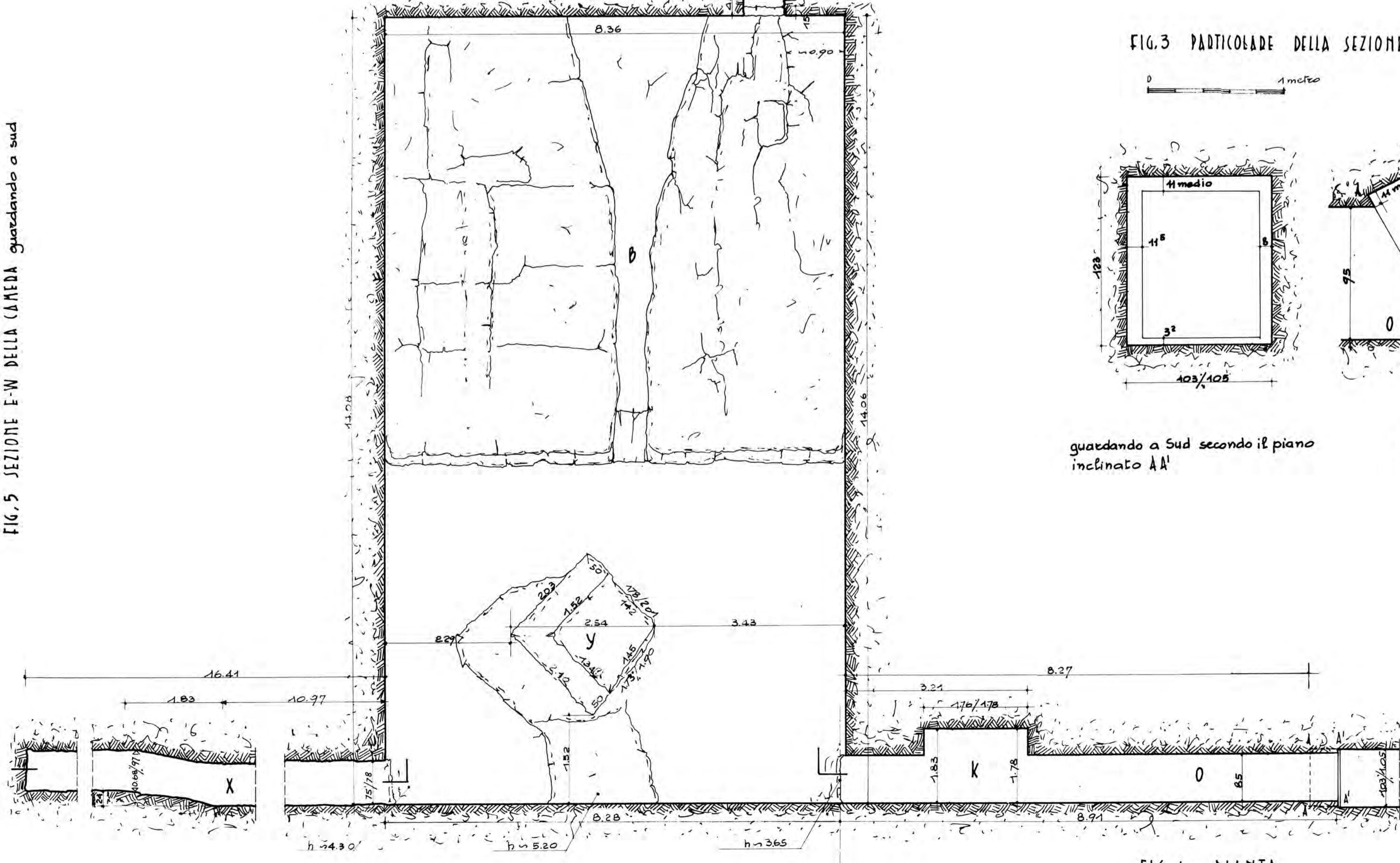
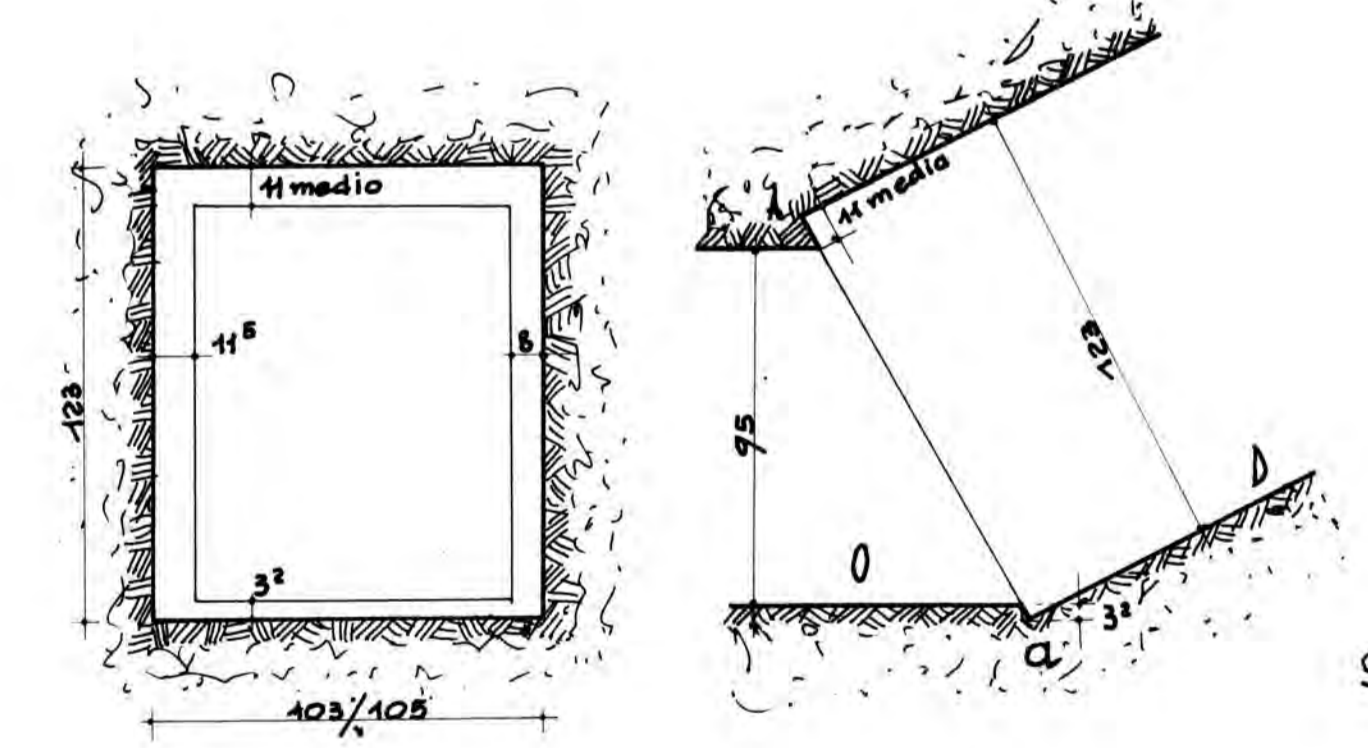


FIG. 3 PARTICOLARE DELLA SEZIONE A-a



guardando a Sud secondo il piano inclinato AA'



particolare in A

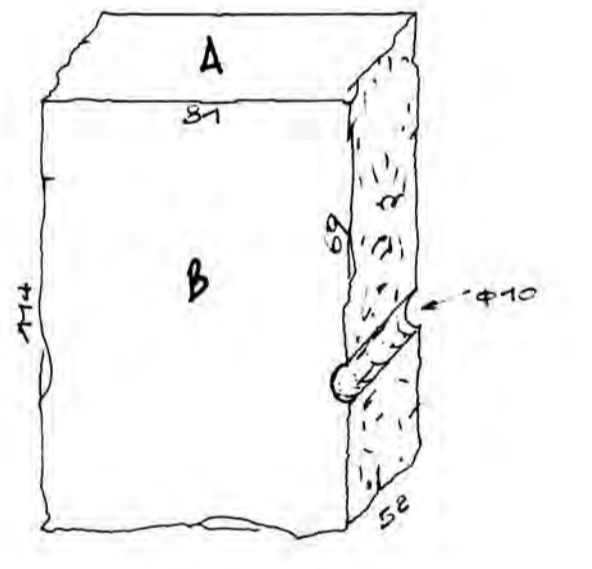


FIG. 6 BLOCCO DI GRANITO TROVATO DA PETRIE PRESSO LA BRECCIA DI EL MAMUN
 La faccia A, quella B e la faccia opposta ad essa sono originarie e levigate

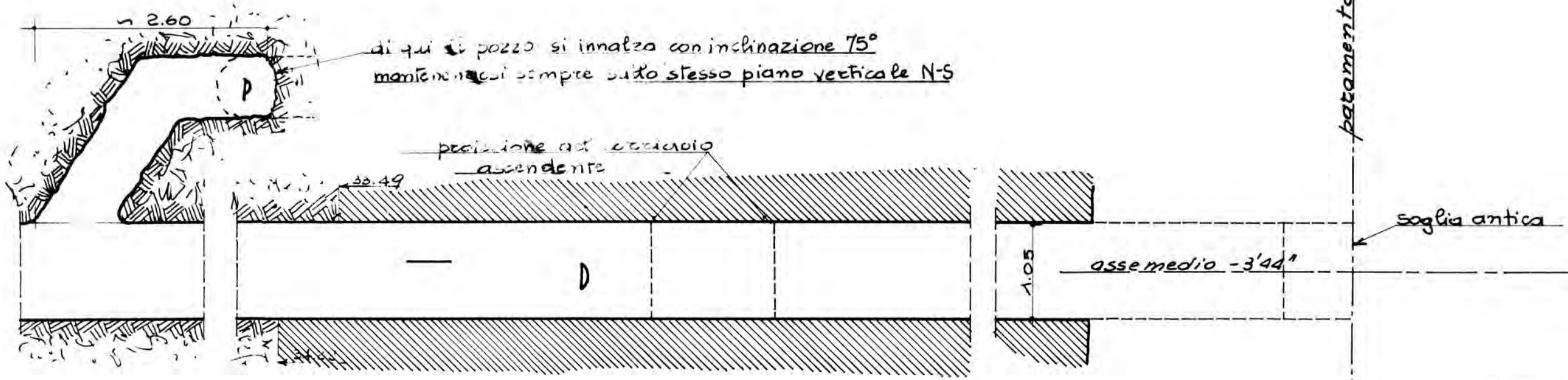


FIG. 4 PIANTE

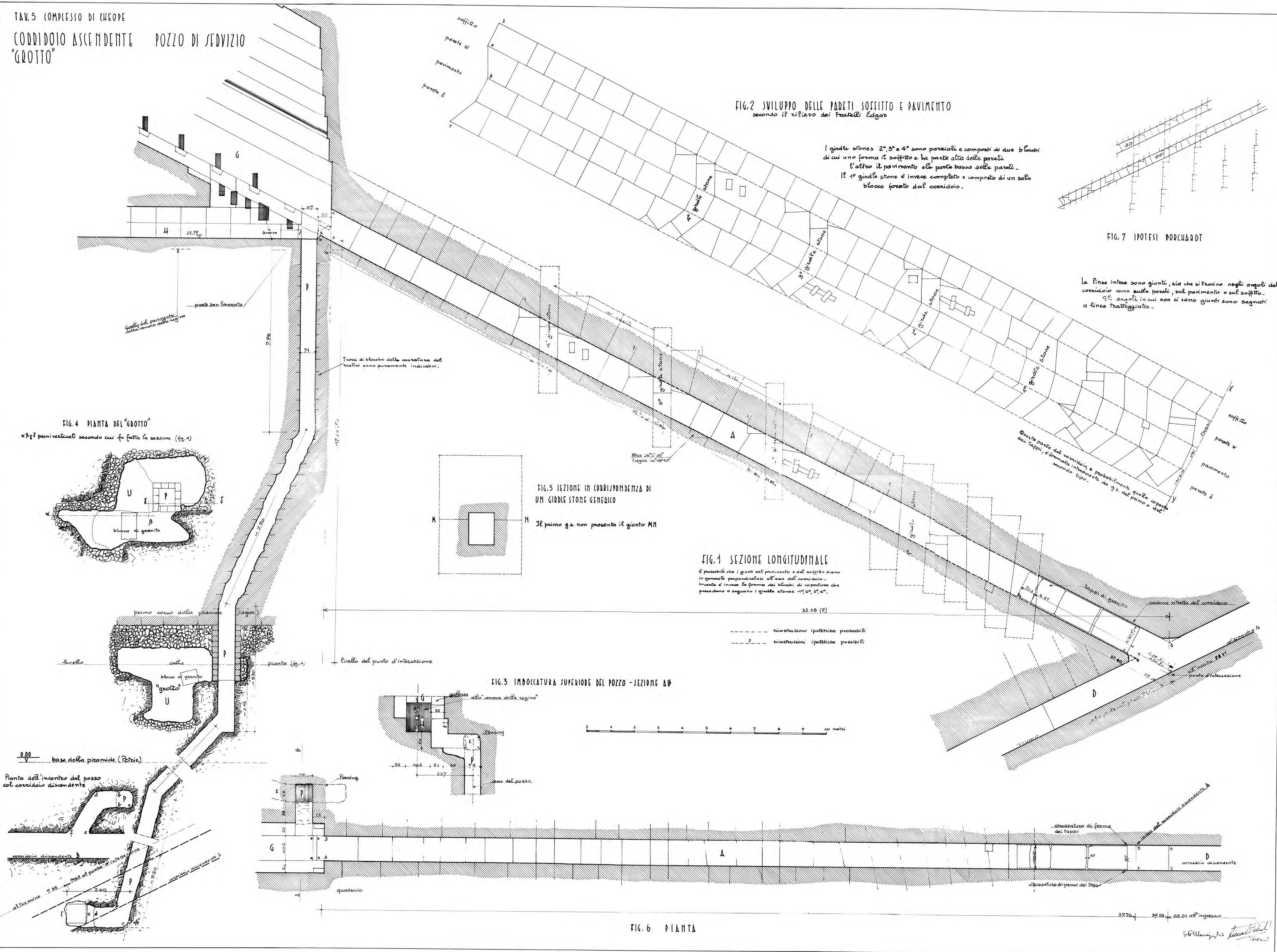


FIG.2 SVILUPPO DELLE PARETI SOFFITTO E PAVIMENTO secondo il rilievo dei Fratelli Edgar

I girdle stones 2°, 3° e 4° sono parziali e composti di due blocchi di cui uno forma il soffitto e la parte alta delle pareti. L'altro il pavimento e la parte bassa delle pareti. Il 1° girdle stone è invece completo e composto di un solo blocco forato dal corridoio.

FIG.7 IPOTESI BORCHARDT

Le linee intere sono giunti, sia che si trovino negli angoli del corridoio come sulle pareti, sul pavimento o sul soffitto. Gli angoli in cui non ci sono giunti sono segnati a linea tratteggiata.

FIG.5 SEZIONE IN CORRISPONDENZA DI UN GIRDLE STONE GENERICO

Il primo g.s. non presenta il giunto MN

FIG.1 SEZIONE LONGITUDINALE

È probabile che i giunti del pavimento e del soffitto siano in generale perpendicolari all'asse del corridoio. Invece la forma dei blocchi di copertura che precedono o seguono i girdle stones 1°, 2°, 3°, 4°.

FIG.3 IMBOCCATURA SUPERIORE DEL POZZO - SEZIONE AB

0 1 2 3 4 5 6 7 8 9 10 metri

FIG.6 PIANTE

37.76 + 39.28 + 28.21 all'ingresso

Architectural drawings and notes by Vito Marangoglio and Celeste Ambrogio Rimoldi, 1963.

CAMERA DELLA "REGINA" E GRANDE GALLERIA

